

شبیه سازی دینامیک ملکولی ذخیره سازی هیدروژن در نانو ذرات FeTi و نانو لوله های کربنی تک لایه (SWNT)

*^۱ رضاعلیزاده

Alizadeh_Enviroment@yahoo.com

^۲ پروین نصیری

تاریخ پذیرش: ۸۸/۹/۲

تاریخ دریافت: ۸۸/۳/۳۰

چکیده

یافتن روشی مناسب برای ذخیره سازی مقدار زیادی گاز هیدروژن و با اینمی لازم برای استفاده در خودروها و سایر تجهیزات همچنان توجه مراکز پژوهشی انرژی و محیط زیست را به خود جلب نموده است. در این پژوهش با انجام شبیه سازی دینامیک ملکولی (MD) میزان هیدروژن جذب شده در سیستم نانو ذرات FeTi و نانو لوله ها کربنی تک لایه (SWNT) در محدوده دمایی ۶۰-۱۰۰ کلوین، با محاسبه مقدار جذب هیدروژن (Θ)، آلتالپی جذب (q) و انرژی اتصال (E)، در فشار های متفاوت مورد بررسی قرار گرفت. میزان جذب هیدروژن در فشار حداقل ۱۰ مگا پاسکال و دمای ۶۰ درجه کلوین برای لایه اول جذب روی نانو ذرات FeTi درون ۰/۲۸ تا ۰/۳۵ مورد بررسی قرار گرفت. بنابراین می توان نتیجه گرفت که نانو ذرات FeTi مواد جدید و مناسبتری SWNT دربیشترین قطر انتخاب شده ۰/۰۸ به دست آمد. بنابراین می توان نتیجه گرفت که نانو ذرات ساز گاز هیدروژن هستند. جهت استفاده در پیل های سوختی به عنوان ذخیره ساز گاز هیدروژن هستند.

واژه های کلیدی: ذخیره سازی هیدروژن، SWNT، جذب، ایزوترم، شبیه سازی، دینامیک ملکولی.

۱- استادیار دانشگاه صنعتی خاتم الانبیاء(ص)-دانشکده ای محیط زیست(مسئول مکاتبات).

۲- استاد دانشکده بهداشت دانشگاه علوم پزشکی تهران

مقدمه

مکانیسم جذب و توسعه ظرفیت ذخیره سازی هیدروژن خواهد کرد (۹).

روش بررسی

در این تحقیق از بسته نرم افزاری Tinker (۴/۲) در مجموعه یا هنگردد NPT (فشار و دمای ثابت با تعداد ذرات ثابت) و با استفاده از مدل یا تابع پتانسیل با کینگهام Buckingham برای سیستم FeTi و مدل لنارد جونز درمورد سیستم نانو لوله کربنی برای محاسبه بر هم کنشهای و اندروالسی هریک از سیستم‌ها با استفاده از معادله‌ها و پارامترهای ذیل شبیه سازی انجام و نتایج آن استخراج گردید (۱۰ و ۱۱). میدان نیروی باکینگهام دارای رابطه و پارامترهای زیر است (۱۲):

$$r = r(A)$$

فاصله بین اتم‌ها در پتانسیل حداقل (A) =

$$(A) = \text{فاصله بین اتمی}$$

$$p = \frac{r}{x}$$

فاکتور استفن = ζ

$$D = \frac{kcal}{mol}$$

$$E : D \left[\left(\frac{\zeta}{\zeta - 6} \right) e^{\zeta(1-p)} - \left(\frac{\zeta}{\zeta - 6} \right) p^{-6} \right]$$

جدول ۱- مقادیر پارامترهای باکینگهام در سیستم FeTi

غیر پیوندی			والانس پیوندی		اتم
D	ζ	X(A)	درجه Θ	R(A)	
۰/۰۴۴	۱۲	۲/۸۶۶	۱۸۰	۰/۳۵۴	H
۰/۰۱۳	۱۲	۲/۹۱۲	۱۰۹/۴۷	۱/۲۷	Fe
۰/۰۱۷	۱۲	۳/۱۷۵	۱۰۹/۴۷	۱/۴۱۲	Ti

هیدروژن فراوان ترین عنصر طبیعی و حامل انرژی ایده‌آل است که حاصل احتراق آن آب می‌باشد. یک کیلوگرم از این گاز، سه برابر همین مقدار بنزین، انرژی آزاد می‌کند. مشکل اساسی در استفاده از این سوخت پاک ذخیره سازی اینم و فراوان آن است (۱). روش‌های مختلفی برای ذخیره نمودن این گاز مورد استفاده قرار می‌گیرد که عبارتند از ۱- ذخیره سازی فیزیکی (فسرده سازی با مایع نمودن)، ۲- جذب سطحی، ۳- ذخیره سازی در هیدرات‌ها، ۴- ذخیره سازی به کمک هیدریدهای فلزی برگشت پذیر با تشکیل پیوند شیمیایی میان هیدروژن و فلز (۲). اما هر یک از روش‌های مذکور دارای معایبی می‌باشد گذشته از آن انتقال اینم و مطمئن هیدروژن با روش‌های مرسوم امکان پذیر نیست (۳). FeTi به عنوان یک آلیاژ فلزی ارزان و سبک وزن قابلیت خوبی برای هیدرید شدن و ذخیره سازی هیدروژن دارد (۴). اگرچه فعالسازی سطح آن قبل از ذخیره سازی هیدروژن، کاربرد آن را محدود نموده است (۵) این آلیاژ دارای مخلوطی از ساختارهای نانو و آمورف است (۶) که با استفاده از سیستم آلیاژسازی مکانیکی و با استفاده از عناصر Fe و Ti و با روش آسیاب گلوله‌ای با خلوص ۹۹/۹ درصد تولید می‌گردد (۷). در آسیاب گلوله‌ای، گلوله‌ها در مخزن استیلی با حجم ۲۵۰ میلی لیتر در اتمسفر آرگن از ۵ تا ۱۰۰ ساعت و با سرعت ۲۰۰ دور در دقیقه عملیات آسیاب را انجام می‌دهند. نانو لوله‌های کربنی تک لایه (SWNT) نیز با روش‌های مختلف Sol gel (ژل سازی) و ته نشینی بخار شیمیایی (CVD) تولید می‌شوند (۸).

اگرچه بررسی‌های آزمایشگاهی زیادی بر روی ذخیره سازی و جذب هیدروژن صورت گرفته است، ولی هنوز تئوری جذب آن بر روی نانوذرات FeTi و یا نانو لوله‌های کربنی ناشناخته مانده است.

Kinaci و همکاران اصول اولیه امکان هیدرید شدن با ظرفیت ذخیره سازی بالای هیدروژن در FeTi را به دست آورده‌اند. محاسبات تئوری و شبیه سازی کمک زیادی به درک

فاصله بین مولکول ها = r

پارامتر انرژی معادله = ϵ

پارامتر طولی معادله = σ

$\epsilon HC = 2/762 mev$

$\sigma HC = 3/179 mev$

بررسی نانو لوله های کربنی تک لایه نیز در دمای ۸۰-۷۰ کلوین و با استفاده از نانو لوله کربن (۸۰)، (۱۰۰) و (۱۲۰) انجام شد که میدان نیروی لنارد جونز به کار رفته در پارامتر های آن عبارتند.

$$E = 4\epsilon \left\{ \left(\frac{\sigma}{r} \right)^1 - \left(\frac{\sigma}{r} \right)^4 \right\}$$

جدول ۲- مقادیر پارامترهای لنارد جونز در سیستم نانو لوله های کربنی

NC	E(mev)	$\epsilon TT(meV/A)$	$\sigma TT(A)$	$D0^-(A)$	نانولوله
۷۴۴۴	۱۸/۲۷	۷۹/۱۹	۳/۱۵	۱۰/۸۵۶	(۸۰)
۷۵۶۰	۱۶/۵۲	۸۹/۵	۳/۱۴	۱۳/۵۷	(۱۰۰)
۷۶۷۲	۱۵/۲۱	۹۸/۸	۳/۱۴	۱۶/۲۸	(۱۲۰)

-۲ سپس به منظور کوتاه نمودن زمان شبیه سازی و کاهش زمان محاسبات و همین طور صرف نظر کردن از برهمکنش های در فواصل درورتر، شاعع قطع واندروالسی ($r cut off$) ۱۲A (واحد اتمی) انتخاب شد و ارزش ثابت نیروی آزمایشگاهی مولکول هیدروژن $A/368au$ (واحد اتمی) و ثابت شبکه در مورد $FeTi$ ۲/۶۸ به کار رفت.

-۳ سلول $FeTi$ با توجه به تقارن سیستم مکعبی انتخاب شد (با تعداد ۲۵۰ اتم Fe و Ti) که در راستای محورهای مختصات X, Y و Z توسعه یافته است. سلول $50 \times 50 \times 50 A^3$ حجم جعبه شبیه سازی نیز ۵۰ انتخاب شد. شبیه سازی ها با تعداد ۱۰۰۰-۲۵ مولکول هیدروژن برای $FeTi$ درون جعبه شبیه سازی انجام شد (شکل ۱).

فرآیند شبیه سازی به روش دینامیک مولکولی:

۱. در فرآیند شبیه سازی به روش دینامیک مولکولی، رفتار سیستم های چند ذره ای H_2 و $FeTi-H_2$

$C-H_2$ و $C-C$ با زمان مورد مطالعه قرار گرفت.

۲. پس از آن، از یک کمیت در محدوده زمانی طولانی

($F=ma$) میانگین گرفته شده و از معادله نیوتون

برای نمایش حرکت اتم ها استفاده گردید.

۳. الگوریتم Beemans با فاصله زمانی یک فمتو ثانیه

برای انتگرال گیری عددی به کمک بسط تیلور به

صورت زیر به کار گرفته شد:

$$r(t + \Delta t) = r(t) + r(t)\Delta t + \frac{2}{3}a(t)\Delta t^3 \dots$$

$$v(t + \Delta t) = v(t) + v(t)\Delta t + \frac{1}{3}a(t)\Delta t^3 \dots$$

که در این الگوریتم موقعیت هر ذره در زمان بعد، از موقعیت آن

در زمان قبلی به دست می آید.

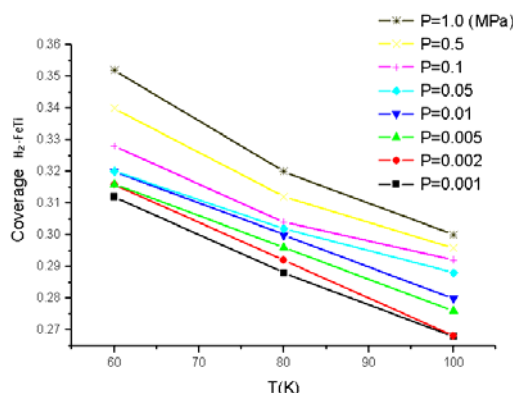
۱- به دنبال آن به منظور راستیابی مدل و دست یابی به

نتایج دقیق و کاهش میزان خطأ، شرایط مرزی

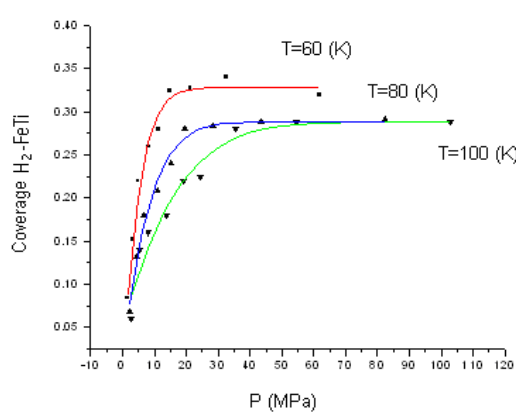
متناوب (Pbc) در تمامی سه بعد توسعه داده شد.

کربنی در ابتدا با گذشت زمان هیدروژن تمام فضای خالی میان ۷ نانو لوله را پر کرد و سپس وارد نانولوله ها شد و در مورد FeTi، اولین لایه هیدروژن جذب شده بروی FeTi افزایش مقدار لایه های هیدروژن کامل شد و لایه های دوم و ... نیز شکل گرفت (فاصله بین لایه های مختلف هیدروژن جذب شده ۵ انگستروم و فاصله بین لایه اول و سطح FeTi نیز ۴ انگستروم محاسبه شد).

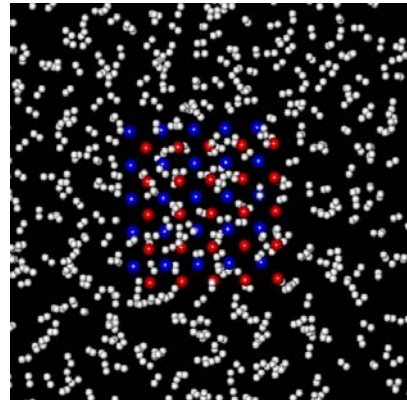
با افزایش دما میزان جذب هیدروژن کاهش یافت و افزایش فشار نیز مقدار هیدروژن جذب شده را افزایش داد که نمودارهای ۱ و ۲ تغییرات میزان جذب در دمای ۵۵، ۶۰، ۷۵، ۸۰، ۹۰ و ۱۰۰ کلوین و در فشارهای مختلف را نشان می دهند.



نمودار ۱- تغییرات میزان جذب گاز هیدروژن
بر حسب دما.

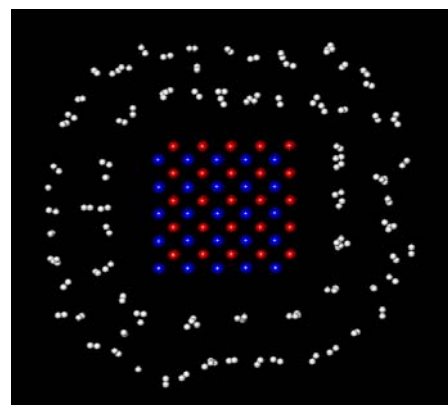


نمودار ۲- تغییرات میزان جذب گاز هیدروژن بر حسب
فشار در سه دمای شاخص ۶۰، ۸۰ و ۱۰۰ درجه کلوین.



شکل ۱- سل یا جعبه اولیه شبیه سازی.

در خصوص نانو لوله ها نیز با ۷ نانو لوله (یکی در مرکز) با حجم جعبه $100 \times 34 / 45 \times 200 \text{ \AA}^3$ شبیه سازی انجام گردید.



شکل ۲- لایه های اول و دوم گاز هیدروژن در اطراف
کریستال FeTi.

برای شروع شبیه سازی ساختار اولیه به مدت ps ۱۰۰ به تعادل رسید و سپس با ps ۲۰۰ شبیه سازی آغاز شد. به منظور کنترل از سیستم ترمومترات Nose-Hoover استفاده شد. در شکل ۲ لایه های مختلف هیدروژن جذب شده در اطراف کریستال FeTi نشان داده شده است:

نتایج و تفسیر

(الف) میزان جذب: مقدار جذب هیدروژن در هر دوسیستم با استفاده از رابطه $\frac{NH_2}{N FeTi}$ محاسبه شد. در نانو لوله های

حرارت جذب برای FeTi در مقدار جذب $0/23 \text{ eV}$ به مقدار حداکثر 1500 J/mol می رسد و بعد از آن مقدار حداکثر به 1660 J/mol کاهش می یابد که نشان میدهد که جذب هیدروژن از نوع فیزیکی می باشد.

ج- انرژی اتصال

با استفاده از رابطه ریاضی زیر :

$$q_{st} = -\varepsilon + 2k_B T$$

که در آن T مقدار میانگین دما و k_B ثابت بولتزمن است و از آن طریق می توان انرژی اتصال را به دست آورد که در مورد مقدارهای مختلف q و در هر دو سیستم FeTi و نانولوله های کربنی نشان می دهد که گاز هیدروژن فقط با مواد جاذب بر هم کنش دارد.

نتیجه گیری نهایی

با توجه به نتایج به دست آمده مقدار جذب هیدروژن بر روی FeTi و در نانولوله های کربنی ($10/12$ و $12/14$)، ($10/10$ و $10/8$) در حداکثر مقدار فشار 10 MPa دمای مناسب به ترتیب $0/15$ ، $0/081$ ، $0/077$ و $0/069 \text{ K}$ می باشد، که این مقادیر با در نظر گرفتن هزینه های پایین و فراوانی FeTi نسبت به نانولوله های کربنی نشان می دهد که نانوذرات مواد ایده آلی برای ذخیره سازی هیدروژن هستند.

منابع

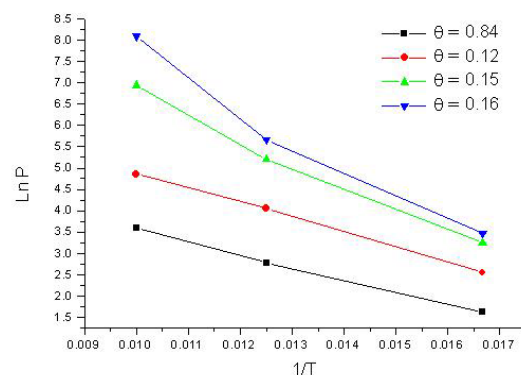
- Yang, Q. Zhang, C. (2005) Molecular Simulation of Adsorption and Diffusion of Hydrogen in Metal–Organic Frameworks Phys. Chem. B, 109. 11862-11864.
- Yin, Y.F. Mays, T. McEnaney, B. (2000) Molecular simulations of hydrogen storage in carbon nanotube arrays, Langmuir, 16 10521-10527.
- Froudakis, G.E. (2002) Hydrogen interaction with carbon nanotubes: a review of *ab initio* studies J. Phys.: Condens. Matter. 14, R453-R465.

ب- حرارت یا آنتالپی جذب

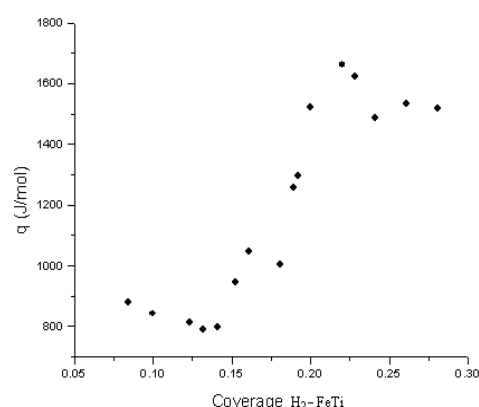
مقدار حرارت آزاد شده جذب را می توان از نمودار $\ln P$ بر حسب $1/T$ و برای مقدار مشخصی از گاز جذب شده و با استفاده از شیب منحنی از رابطه کلاز یوس-کلا پیرون:

$$q_{st} = -R \left(\frac{\partial \ln P}{\partial T^{-1}} \right)_\theta$$

به دست آورد (نمودارهای ۳ و ۴).



نمودار ۳- لگاریتم فشار بر حسب معکوس دما که از شیب نمودار به دست می آید.



نمودار ۴- میزان جذب گاز هیدروژن در نانوذرات FeTi بر حسب q (مقدار حرارت آزاد شده جذب).

در رابطه مذکور R ثابت عمومی گازها، P فشار سیستم و T دمای آن بر حسب کلوین است.

- System, Proceedings International Hydrogen Energy Congress and Exhibition IHEC, Istanbul, Turkey, 13-15 July.
8. Kinaci, A. Aydinol, M.K. (2006) Ab initio investigation of FeTi-H system, *Int. J. Hydrogen Energy* doi:10.1016/j.ijhydene.2006.10.006.
 9. Reilly, J.J. Wiswall, R.H. (1974) Formation and properties of iron titanium hydride, *J. Inorg. Chem.* 13, 218-222.
 10. Mayo, S.L., Olafson, B.D. Goddard III, W.A. (1990) A generic force field for molecular simulations, *J. Phys. Chem.* 94, 8897-8809.
 11. Rappé, A.K. Casewit, C.J. Colwell, K.S. Goddard III, W.A. Skiff, W.M. (1992) a Rule-Based Full Periodic Table Force Field for Molecular Mechanics and Molecular Dynamics Simulations *J. Am. Chem. Soc.* 114, 10024-10035.
 12. Tersoff, J. and Ruoff, R. S. (1994) Structural properties of a carbon-nonotube crystalPhys. Rev. Lett. 73, 676-679.
 4. Jurczyk, M. Smardz L, Makowiecka, M. Jankowska, E. Smardz, K. (2004) the synthesis and properties of nanocrystalline electrode materials by mechanical alloying, *J. Phys. and Chem. Solids*, 65, 545-548.
 5. Singh, B.K. Singh, A.K. Pandey, C.S. Srivastava, O.N. (1999) Investigation on synthesis, characterization and hydrogenation behaviour of hydrogen storage material: $\text{Fe}_{1-x}\text{Zr}_x\text{Ti}_{1.3}$ ($x = 0.2$), *Int. J. Hydrogen Energy*, 24, 1077-1082.
 6. Morris, S. Dodd, S.B. Hall, P.J. Mackinnon, A.J. Berlouis, L.E.A. (1999) The effect of novel processing on hydrogen uptake in FeTi- and magnesium-based alloy, *J. Alloys Compd.* 295, 458-462.
 7. Abe, M. Kokaji, T. Oishi, K. Haraki, T. Uchida, H. Miyamoto, Y. Uchida, S. (2005) Hydrogen Absorption Characteristics of a FeTi Alloy Nano-Structured Mechanical Alloying and Its Application to a Hydrogen Storage